

Fig. 1. Calculated versus experimental value of tensile strength of normalized plate (13 mm thickness).

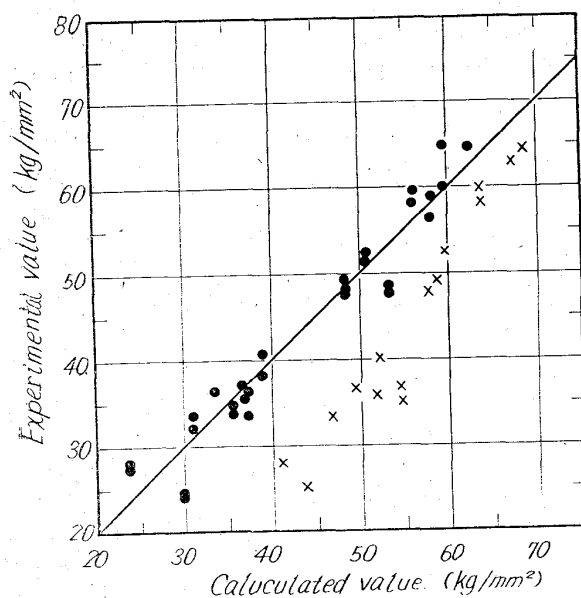


Fig. 2. Calculated versus experimental value of yield strength of normalized plate (13 mm thickness).

頗る限界内で一致するものが多く、主合金元素の強度に対する効果は両系ではほぼ等価と考えられる。これより、B ならびに V, Ti, Zr などの微量元素の含有も主合金元素の効果には大きな影響を与えないことがわかる。ただし、Mo-B 系鋼と本実験の低合金系鋼では、同一主合金元素含有量において、その強度レベルが多少ことなり、前者が高い。Fig. 2 には、本実験に供試した鋼の降伏点を Mo-B 系鋼の実験式を用いて算出した計算値と実測

値の関係を併示(×印)したが計算値のはうが高くなっている。

(4) 通常よく使用される C 当量(C_{eq})^{2,3)}とも、本実験の合金元素の相対的な効果はかなり一致している。しかし、 C_{eq} を用い ($61.0 \times C_{eq} + 24.3$) によつて、本実験に供試した鋼の抗張力を求めると、Fig. 1 に示すように、高抗張力側で計算値と実測値の差が大きくなる。本実験で得た実験式はこれよりも、より高い抗張力域までの推定が可能で、この点でその適用範囲はより広いといえる。

4. 総 括

直交配列表 L_{16} ^(2,15) にしたがつて成分配合をきめた、C, Si, Mn, Ni, Cr, Mo, Cu の 7 元素を含む低合金鋼について、焼ならし、および焼ならし・焼もどし状態の強度におよぼす合金元素の影響を、実験式を求ることにより、定量的に評価した。

降伏点、抗張力はいずれの熱処理の場合にも、十分な精度をもつて、合金成分より推定することができる。この場合、2 元素間の大きな交互作用はほとんど認められない。前報の Mo-B 系鋼の結果と比較すると、両者の強度レベルは若干ことなつているが、両者の合金元素の効果はきわめてよく一致している。

また、通常よく使用される C_{eq} とも、合金元素の効果の傾向は一致するが本実験式はそれによるよりも、より高い抗張力域までの推定に使用しうると思われる。

文 献

- 1) 三好ほか: 鉄と鋼, (1965)
- 2) 山木: 鉄と鋼, 45 (1959) 4, p. 438
- 3) 鈴木: 日本機械学会誌, 62 (1959), p. 113

(196) 溶融非鉄金属中における鉄の拡散係数の測定

名古屋工業技術試験所

工博 萩輪 晋・○加藤 誠・小坂岑雄

Measurement of the Diffusion Constant of Fe in Some Liquid Non-ferrous Metals.

Dr. Susumu MINOWA, Makoto KATO
and Mineo KOSAKA.

1. 緒 言

金属および合金の溶融状態における化学変化の動力学的研究においては、合金を構成している成分の拡散に関する知見はきわめて重要なことであり、それについての研究もしくは拡散係数の測定の報告も少なくない。しかしながらいま、溶融金属中における鉄の拡散に問題を限定すれば、それに関する報告例はほとんどみあたらぬのが現状である。たとえば溶融 Zn 中の鉄の拡散係数値は、実用的にも意義あるものにもかかわらずその測定値はみあたらないようである。

すでに筆者らは前報²⁾において、溶融 Zn 中の鉄の拡散係数の測定の困難な問題点を明らかにした。さらにひきつづいて溶融 Zn をはじめとし Al, Sn および Mg 中における鉄の拡散係数を Stefan & Kawalki の方法³⁾により求めたので、ここに報告する。

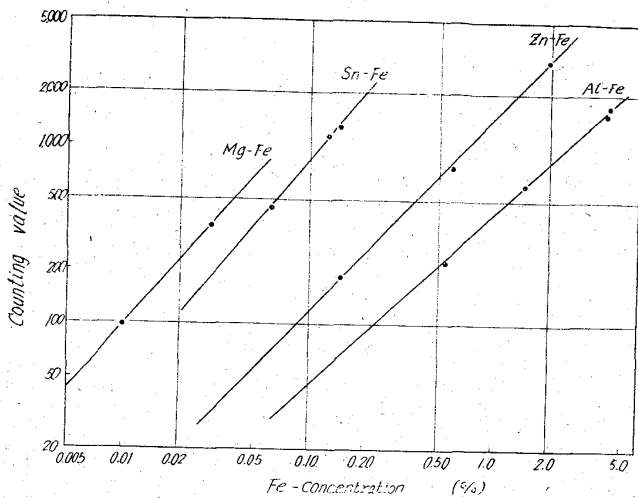


Fig. 1. Relation between concentration of Fe in some non-ferrous metals and counting value of atom counter.

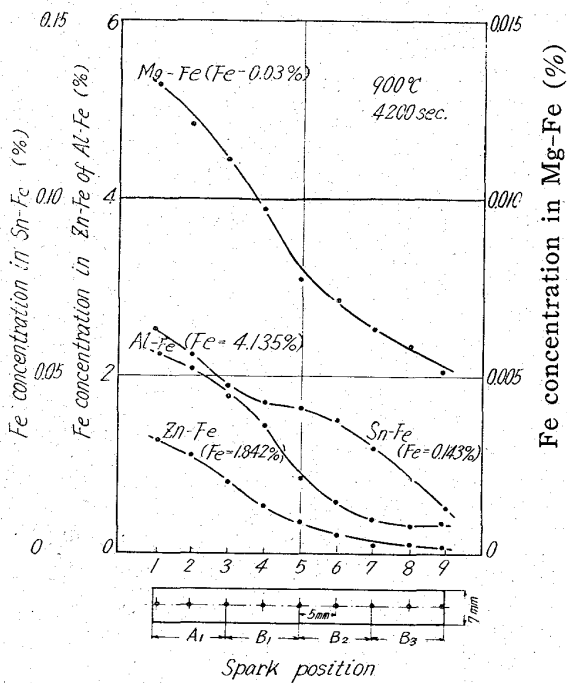


Fig. 2. Relation between concentration of Fe and diffusion distance at 900°C-4200 sec.

2. 実験方法

内径 7mm ϕ の黒鉛ルッボ中に Al-Fe, Zn-Fe, Sn-Fe および Mg-Fe の各合金棒（長さ 10mm）を入れ、その上側にそれぞれ純 Al, Zn, Sn および Mg 棒（長さ 30mm）をおきプレスで圧着する。この黒鉛ルッボを一定温度に制御された大型エレマ炉中で所要時間加熱し試料を溶融状態にたもつた後、炉外で急冷し、試料を 4 等分した各部の Fe 濃度を分析により求め、拡散係数を算出した。すなわち、STEFAN & KAWALSKI の方法³⁾による拡散係数の測定を試みた。

分析は次のとく Jarrell-Ash 社製の Compact Atom Counter により行なつた。まず Fe 濃度既知の各二元系合金（それぞれ JIS の分析法にしたがつて定量した）を Cu 電極を用いて計数値を求め、計数値と Fe 濃度との関係を求めてこれを検量線とした。検量線を Fig. 1 に示す。

急冷した試料は中心で縦割し Fig. 2 に示す各部位で Cu 電極を用いて Spark させて計数値を求めた。この計数値から検量線により Fe 濃度を求め、部位との関係を図示した。一例を Fig. 2 に示す。この図から試料を 4 等分した各部の平均 Fe 濃度を求めて合金中初期濃度との比を求め、STEFAN & KAWALSKI の表を用いて拡散係数を算出した。

3. 結果と考察

3.1 Al-Fe 系

分析結果および STEFAN & KAWALSKI の表³⁾を用いて算出した結果を Table 1 に示す。

上表に得られた拡散係数 D と $1/T$ との関係を示せば Fig. 3 のようになる。したがつて、拡散係数が Arrhenius の式に適合するものとしてそれぞれの直線の方程式を最小 2 乗法により求めれば

$$\log D = -2.43 - 0.86 \times 10^3 \cdot 1/T$$

$$\text{Initial Fe} = 1.415\%$$

$$\log D = -2.56 - 1.31 \times 10^3 \cdot 1/T$$

$$\text{Initial Fe} = 4.135\%$$

となり、これから $D_0 = 3.7 \times 10^{-3} \text{ cm}^2/\text{sec}$, $Q = 4 \text{ kcal/mol}$ (Fe = 1.415%), および $D_0 = 2.7 \times 10^{-3} \text{ cm}^2/\text{sec}$, $Q = 6 \text{ kcal/mol}$ (Fe = 4.135) が得られる。これらの諸値は、一般の溶融金属中の拡散について云われている値によく一致している。

本系においては、合金中初期 Fe 濃度によって拡散係数は異なる結果を与えており、初期 Fe 含量が高いほど

Table 1. Diffusion constant of Fe in liquid Al.

Temperature (°C)	1/°K	Time (sec)	Fe concentration (%)					$h/2V\sqrt{Dt}$	D (cm ² /sec)
			Initial	A ₁	B ₁	B ₂	B ₃		
700	1.03×10^{-3}	7200	1.415 4.135	0.420 1.881	0.377 1.321	0.320 0.651	0.296 0.258	0.26 0.47	5.1×10^{-4} 1.6×10^{-4}
800	0.93×10^{-3}	7200	1.415 4.135	0.426 1.569	0.384 1.261	0.325 0.744	0.283 0.399	0.27 0.40	4.8×10^{-4} 2.1×10^{-4}
900	0.85×10^{-3}	4200	1.415 4.135	0.435 1.890	0.383 1.288	0.318 0.612	0.268 0.259	0.28 0.46	7.6×10^{-4} 2.8×10^{-4}

Table 2. Diffusion constant of Fe in liquid Zn.

Temperature (°C)	Time (sec)	Fe concentration (%)					$h/2\sqrt{Dt}$	D (cm ² /sec)	
		Initial	A ₁	B ₁	B ₂	B ₃			
700	1.03×10^{-3}	7200	0.385 1.842	0.159 1.150	0.118 0.563	0.067 0.137	0.038 0.012	0.33 0.72	3.3×10^{-4} 0.7×10^{-4}
800	0.93×10^{-3}	7200	0.385 1.842	0.147 1.070	0.115 0.582	0.073 0.164	0.052 0.024	0.27 0.66	5.0×10^{-4} 0.8×10^{-4}
900	0.85×10^{-3}	4200	0.385 1.842	0.158 1.060	0.117 0.582	0.065 0.175	0.035 0.029	0.31 0.64	6.0×10^{-4} 1.5×10^{-4}

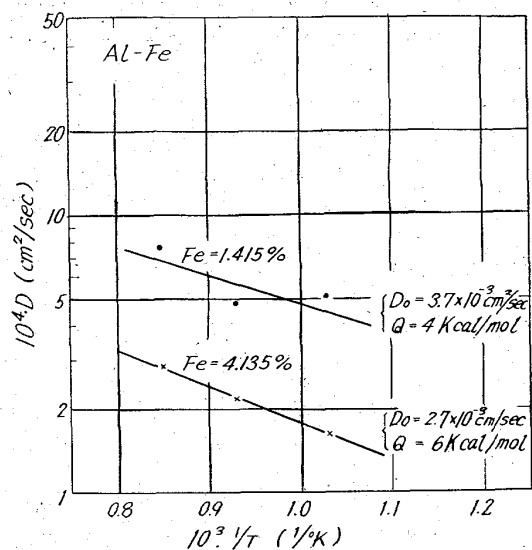


Fig. 3. Temperature dependence of diffusion constant of Fe in liquid Al.

ど拡散係数は小さい。この点に関しては濃度依存性などが考えられるが本実験方法では検討できない。

3.2 Zn-Fe 系

分析結果および STEFAN & KAWALKI の表を用いて算出した結果を Table 2 に示す。

上表の結果に、前報²⁾で発表した結果を併せて D と T との関係を示したのが Fig. 4 である。図からわかるように、Zn-Fe 合金中の初期 Fe 濃度によって拡散係数が異なっている。これは濃度依存性もあるようが、前報²⁾でも述べたごとく、初期 Fe 含量 1.842% のものは Fe の沈降が起ることも一つの原因と考えられる。

Table 3. Diffusion constant of Fe in liquid Sn.

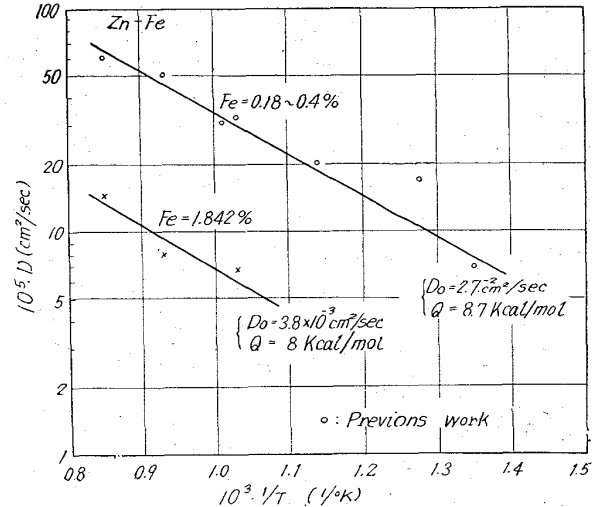


Fig. 4. Temperature dependence of diffusion constant of Fe in liquid Zn.

初期 Fe 含量 0.18~0.4% のものでは、510°C での値が異常に大きい。しかし 510~550°C 位で溶融 Zn 中への固体鉄の溶解速度が異常に大きいという報告⁴⁾があるので、この点での測定値を除外すれば、測定結果はよく Arrhenius の式に適合しており、この直線の方程式は最小二乗法により次のとく求まる。

$$\log D = -1.56 - 1.91 \times 10^3 \cdot 1/T$$

これから $D_0 = 2.7 \times 10^{-3} \text{ cm}^2/\text{sec}$, $Q = 8.7 \text{ kcal/mol}$ が得られる。

初期 Fe 含量 1.842% のものについても同様にして

$$\log D = -2.00 - 1.42 \times 10^3 \cdot 1/T$$

となり、これから $D_0 = 1 \times 10^{-2} \text{ cm}^2/\text{sec}$, $Q = 6.5 \text{ kcal}$

Temperature (°C)	Time (sec)	Fe Concentration (%)					$h/2\sqrt{Dt}$	D (cm ² /sec)	
		Initial	A ₁	B ₁	B ₂	B ₃			
500	1.29×10^{-3}	10800	0.094 0.143	0.028 0.057	0.025 0.044	0.022 0.027	0.019 0.015	0.27 0.39	3.2×10^{-4} 1.6×10^{-4}
700	1.03×10^{-3}	7200	0.094 0.143	0.029 0.051	0.026 0.042	0.021 0.029	0.018 0.021	0.28 0.34	4.4×10^{-4} 3.0×10^{-4}
900	0.85×10^{-3}	4200	0.094 0.143	0.032 0.054	0.027 0.043	0.020 0.038	0.015 0.018		6.0×10^{-4} 4.6×10^{-4}

Table 4. Diffusion constant of Fe in liquid Mg.

Temperature (°C)	Time (sec)	Fe Concentration (%)				hr/2V D _t	D (cm ² /sec)
		Initial	A ₁	B ₁	B ₂		
800	0.93 × 10 ⁻³	7200	0.030	0.011	0.008 ₇	0.007 ₄	0.26
900	0.85 × 10 ⁻³	4200	0.030	0.012	0.009 ₆	0.007 ₀	0.32

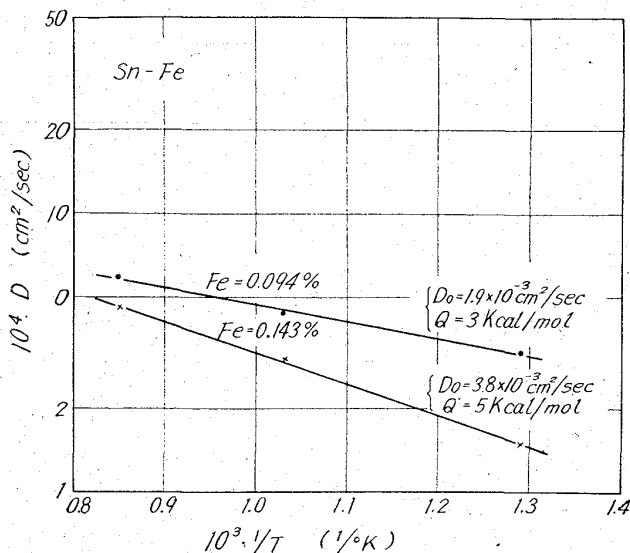


Fig. 5. Temperature dependence of diffusion constant of Fe in liquid Sn.

/mol が得られる。

3.3 Sn-Fe 系

分析結果および STEFAN & KAWALKI の表より算出した結果を Table 3 に示す。

この系についても D と $1/T$ の関係を求めれば Fig. 5 が得られ、Arrhenius の式によく適合していることがわかる。これらの直線の方程式は最小2乗法により次のごとく求まる。

$$\log D = -2.71 - 0.61 \times 10^3 \cdot 1/T \quad \text{Initial Fe} = 0.094\%$$

$$\log D = -2.43 - 1.07 \times 10^3 \cdot 1/T \quad \text{Initial Fe} = 0.143\%$$

したがつてこれから $D_0 = 1.9 \times 10^{-3} \text{ cm}^2/\text{sec}$, $Q = 3 \text{ kcal/mol}$ (Fe=0.094%) および $D_0 = 3.8 \times 10^{-3} \text{ cm}^2/\text{sec}$, $Q = 5 \text{ kcal/mol}$ (Fe=0.143%) が得られる。

本系では合金中初期 Fe 含量による拡散係数の差は比較的小さく、したがつて Al-Fe や Zn-Fe 系のごとき濃度依存性あるいは Fe の沈降などの現象はごく小さいものと考えられる。

3.4 Mg-Fe 系

この系については Mg が非常に酸化しやすい金属のため、実験後の試料が A₁ と B₁ の接合部で分離（酸化のため）するものが多く、したがつて完全に融合していた 2 例についての結果のみを Table 4 に示す。

この測定結果も同様に Arrhenius の式に適合するものとすれば次式が得られる。

$$\log D = -2.78 - 0.54 \times 10^3 \cdot 1/T$$

これから $D_0 = 1.7 \times 10^{-3} \text{ cm}^2/\text{sec}$, $Q = 2.5 \text{ kcal/mol}$ が得られる。

4. 総括

溶融 Al, Zn, Sn および Mg 中における Fe の拡散係数を STEFAN & KAWALKI の方法により求めたところ結果を得た。

1) 溶融 Al 中における Fe の拡散係数は初期 Fe 含量 1.415% のとき、温度 700~900°C において次式で表わすことができる。

$$D = 3.7 \times 10^{-3} \cdot e^{-4000/R T} \text{ [cm}^2/\text{sec}]$$

2) 溶融 Zn 中においては鉄含量の低いところで (Fe = 0.18~0.4%), 温度 470~900°C において次式で表わすことができる。

$$D = 2.7 \times 10^{-2} \cdot e^{-8700/R T} \text{ [cm}^2/\text{sec}]$$

3) 溶融 Sn 中においては、鉄含量 0.094% のとき次式で表わすことができる。

$$D = 1.9 \times 10^{-3} \cdot e^{-8000/R T} \text{ [cm}^2/\text{sec}]$$

4) 溶融 Mg の場合は、Mg が非常に酸化しやすいため、実験が困難であったが大体次式で表わすことができる。

$$D = 1.7 \times 10^{-3} \cdot e^{-2500/R T} \text{ [cm}^2/\text{sec}]$$

5) 以上の結果から、溶融非鉄金属中における拡散係数は大体 10^{-4} 程度であり、拡散のための活性化エネルギーは 2~10 kcal/mol の範囲にあると云える。

文 献

- 丹羽, 他: 日本国学会誌, 18 (1954) 5, p. 271
丹羽, 他: 日本国学会誌, 19 (1955) 4, p. 294
- R. E. GRACE, G. DERGE: J. Metals, 7 (1955), p. 839
- 川合: 日本国学会誌, 20 (1956), 9, p. 514
- 加藤, 萩輪: 鉄と鋼, 50 (1964), 12, p. 2083
- W. JOST: "Diffusion", (1952), p. 63
- E. SCHEIL, M. WURST: Z. Metallk., 29 (1937), p. 224